



## مدل سازی و صحه سنجی پاسخ یک حسگر گاز تحت مدولاسیون دمایی به گاز اتانول

سید محسن حسینی گلگو<sup>۱\*</sup>، سجاد ثابت<sup>۲</sup>

۱- استادیار، مهندسی الکترونیک، دانشگاه گیلان، رشت

۲- دانش آموخته کارشناسی ارشد، مهندسی الکترونیک، دانشگاه گیلان، رشت

\* رشت، صندوق پستی 4199613776، پست الکترونیکی smhosseini@guilan.ac.ir

### چکیده

در این مقاله ابتدا یک حسگر گاز اکسید فلزی از نوع تجاری تحت مدولاسیون دمایی قرار داده شده و همزمان ثبت پاسخهای گذراش آن به تراکم‌های مختلف گاز اتانول ارائه می‌شود. با اعمال مدولاسیون دمایی، دمای سطح حسگر نیز توسط یک ترموموکوبل نوع S- طریف ثبت شد. سپس عملکرد این نوع حسگرها بر اساس مدل جذب اکسیژن هوا و جذب گاز اتانول بر سطح لایه حساس با استفاده از معادله جذب هم‌دمای فرونوکلیز بیان می‌شود. در ادامه، این مدل با استفاده از نرم افزار متلب در محیط سیمولینک شبیه‌سازی می‌شود. با استفاده از این مدل می‌توان پاسخ پویای حسگر را به اتانول مشاهده کرد. در این مدل، تراکم یک گاز بصورت ولتاژ در نظر گرفته می‌شود. این پارامتر به همراه پروفایل دمایی سطح یک حسگر تحت مدولاسیون دمایی و هدایت حسگر تحت تاثیر اکسیژن هوا به عنوان ورودی‌های مدل و پاسخ گذراش حسگر به عنوان خروجی مدل در نظر گرفته می‌شوند. پارامترهای این مدل بر اساس معیار نزدیکی پاسخهای شبیه‌سازی شده و پاسخهای ثبت شده در هر تراکم از گاز اتانول محاسبه می‌شوند. نتایج شبیه‌سازی بر اساس میانگین پارامترهای شبیه‌سازی شده نیز نشان دهنده نزدیکی پاسخهای شبیه‌سازی شده و پاسخهای ثبت شده‌ی واقعی بود.

### اطلاعات مقاله

مقاله پژوهشی کامل

دریافت: 07 دی 1396

پذیرش: 09 بهمن 1396

ارائه در سایت: 04 اسفند 1396

کلید واژگان:

حسگر گاز اکسید فلزی

سیمولینک متلب

مدولاسیون دمایی

پاسخ گذرا

## Modeling and validation of the transient response of a temperature modulated gas sensor to ethanol

Seyed Mohsen Hosseini Golgo<sup>\*</sup>, Sajjad Sabet

Engineering Faculty, University of Guilan, Rasht, Iran  
\* P.O.B. 4199613776 Rasht, Iran, smhosseini@guilan.ac.ir

### ARTICLE INFORMATION

Original Research Paper

Received 28 December 2017

Accepted 29 January 2018

Available Online 23 February 2018

#### Keywords:

Metal oxide gas sensor

MATLAB Simulink

Temperature modulation

Transient response

### ABSTRACT

In this paper, a commercial metal-oxide gas sensor was first placed under temperature modulation regime and simultaneously their transient response to various concentrations of ethanol vapors was recorded. By applying the temperature modulation, the sensor surface temperature was also recorded by a S-type thermocouple. Then, the performance of these sensors was expressed based on the both air oxygen absorption model and ethanol absorption on the surface of the sensitive layer using the Freundlich isotherm equation. Further, this model is simulated using the MATLAB software in the simulink environment. Using this model, one can see the sensor's dynamic response to ethanol. In this model, the concentration of a gas is considered as a voltage. This parameter, along with the temperature profile of the sensor surface under temperature modulation and sensor conductance under the influence of air oxygen, are considered as inputs of the model and transient response of the sensor as output of the model. The parameters of this model are calculated based on the approximate criterion of simulated responses and the responses recorded for each concentration of ethanol gas. The simulation results based on the validation data also showed that the simulated responses were close to the actual recorded responses.

گاز نیمه‌رسانا به طراحی و تفسیر داده‌های آزمایشی کمک فراوانی کرده است [8,7]. یکی از روش‌های مهم انتخابگر نمودن این نوع حسگرها، مدولاسیون دمایی کار آن‌ها با اعمال یک شکل موج متغیر با زمان به گرمکن حسگر است [9]. در این حالت پاسخ پویا<sup>۱</sup> در یک حسگر گاز اکسید فلزی شامل اطلاعاتی است که شناسایی گاز را ممکن ساخته است [10,8]. یک حسگر گاز نیمه‌رسانا در حضور گاز با توجه به جذب گاز روی سطح حساس آن پاسخی را از خود نشان می‌دهد که این پاسخ تحت شرایطی می‌تواند شامل

**۱- مقدمه**  
حسگر مبدلی است که کمیت‌های فیزیکی یا شیمیایی را به یک کمیت الکتریکی مطلوب تعیین نماید. از میان کمیت‌های الکتریکی می‌توان به تغییرات مقاومت الکتریکی [1-5] و تغییرات خازنی [6] اشاره نمود. بسیاری از لایه‌های اکسید فلزی همچون  $ZnO$ ،  $TiO_2$ ،  $SnO_2$  به گازها حساس هستند و به همین دلیل به عنوان حسگرهای حالت جامد مورد استفاده قرار می‌گیرند [1-5]. حسگرهای اکسید فلزی با وجود دارا بودن حساسیت بالا به گازهای هدف قابلیت انتخابگری ندارند. توسعه مدل‌های این نوع حسگرهای

<sup>1</sup> Dynamic response

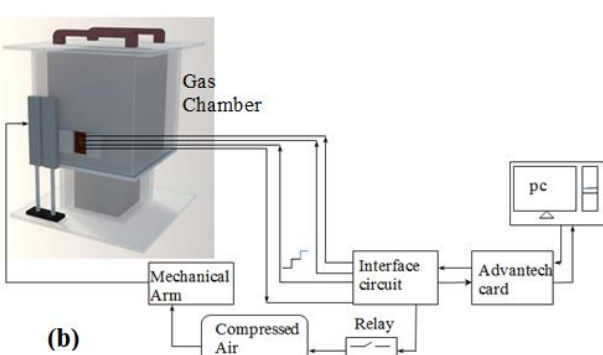
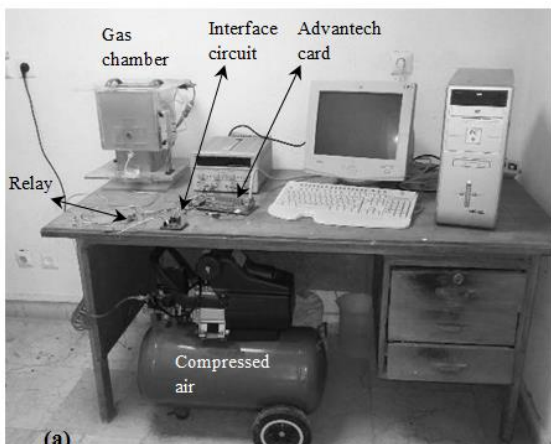
#### Please cite this article using:

S. M. Hosseini Golgo, S. Sabet, Modeling and validation of the transient response of a temperature modulated gas sensor to ethanol, *Modares Mechanical Engineering*, Vol. 18, No. 03, pp. 164-170, 2018 (in Persian)

برای ارجاع به این مقاله از عبارت ذیل استفاده نمایید:

## 2- کار آزمایشگاهی و ثبت پاسخ حسگر

برای ثبت پاسخ حسگر، یک سامانه مکانیکی طراحی و استفاده شد. شکل 1-a تصویر واقعی سامانه ثبت پاسخ حسگر را نشان می‌دهد. طرح‌واره‌ای از این سامانه نیز در شکل 1-b نشان داده شده است. همچنین به منظور تولید محفظه‌ی 8 لیتری جهت تزریق گاز هدف است. همچنین به منظور تولید شکل موج ولتاژ گرمکن، انتقال سیگنال حسگر به رایانه و دیگر فرامین مورد نیاز از یک کارت ورودی/خروجی چندکاره قابل کنترل با لب‌وبو<sup>۱۰</sup> (کارت ادونتک، مدل PCI-1711-L<sup>۱۱</sup>) استفاده شد. برای ثبت هر پاسخ، ابتدا حجم معینی از مایع مورد آزمایش توسط نمونه‌بردار<sup>۱۲</sup> و از طریق دریچه‌ی تزریق به داخل محفظه‌ی گاز تزریق شد. در طول آزمایش، ورود/خروج حسگر به از محفظه‌ی آلوده به گاز مورد مطالعه، با استفاده از یک جک بادی<sup>۱۳</sup> که از کارت کنترلی فرمان می‌گرفت به صورت خودکار انجام می‌شد. یک مدار واسط نیز وظیفه‌ی ارتباط بین کارت ورودی/خروجی و اجزای دیگر سامانه را بر عهده داشت. پس از تعادل بخار مایع تزریق شده با هوای داخل محفظه، فرمان کارت کنترلی از طریق مدار واسط به پیستون‌های بادی صادر شده و با عمل کردن پیستون‌ها، حسگر در معرض محیط آلوده به گاز هدف قرار می‌گرفت. همزمان، برنامه‌ی تحریک گرمکن‌ها نیز مطابق شکل 2 اجرا می‌شد. در این حالت، تغییر مقاومت حسگر از طریق مدار واسط به ولتاژ تبدیل شده و از طریق مبدل آنالوگ به دیجیتال با نرخ نمونه‌برداری 100 نمونه بر ثانیه به رایانه منتقل می‌شد. در هر تزریق، شکل موج ورودی، به گرمکن حسگر



شکل 1 (الف) تصویر واقعی و (ب) طرح‌واره سامانه آزمایش‌های تجربی

<sup>10</sup> Labview

<sup>11</sup> Advantech (PCI-1711-L)

<sup>12</sup> Samplor

<sup>13</sup> Pneumatic

ویژگی‌های شناسایی گاز است. این پاسخ به پاسخ زمانی حسگر معروف است. پاسخ زمانی حسگر بر اساس تغییر مقاومت لایه اکسید فلزی ایجاد می‌شود. مدولاسیون دمایی یکی از روش‌های جنبش‌شناسی<sup>۱</sup> جذب و واکنش در سطح حسگر برای تشخیص گونه‌های اکسیدی/احیایی<sup>۲</sup> در حضور اکسیژن<sup>۳</sup> محسوب می‌شود. در این روش از یک شکل موج ولتاژ برای تحریک گرمکن<sup>۴</sup> حسگر استفاده می‌شود تا سطح حسگر دماهای مختلف را تجربه کند. در [11] با اعمال یک شکل موج پلکانی به گرمکن حسگر به عنوان مدولاسیون دمایی<sup>۵</sup>، گازهای متانول، اتانول، پروپانول و 1-بوتanol از پکدیگر تشخیص داده شدند. همچنین در [12] برای یک حسگر اکسیدفلزی از تلفیق شکل موج‌های پالس و پلکانی به منظور تشخیص 12 گاز متانول، اتانول، 1-پروپانول، 2-پروپانول، 1-بوتanol، 2-بوتanol، ترت-بوتanol، ایزو-بوتanol، هیدروژن، 2-بوتanon، 2-پنتانون و استون استفاده شد. همچنین در [13] به منظور پیاده سازی یک آشکارساز هوشمند برای تمایز بین CH<sub>4</sub> و CO از یک سیگنال مثلثی برای مدولاسیون دمایی حسگر استفاده شد. در [14] برای تمایز بین دو گاز CO و NO<sub>2</sub> از یک شکل موج سینوسی برای مدولاسیون دمایی استفاده شد. سپس در مرجع [15] نانو سیم اکسید فلزی تک‌بلور (ZnO و SnO<sub>2</sub>) به عنوان حسگر مونوکسیدکربن استفاده شد. به طور خاص یک مدل هدایتی برای رفتار پویای حسگر که قادر به پیش‌بینی پاسخ حسگر در طی پاسخ گذرا بود، توسعه داده و تست شد. همچنین در [16] اثر آلایش و خواص لایه‌های TiO<sub>2</sub> نانولوله‌ای بر رفتار حسگر بررسی شده است و همچنین این مکانیزم برای گاز NO<sub>2</sub> با استفاده از مدل سازی با یک مدار معادل شامل مقاومت و خازن مورد بررسی قرار گرفته است پارامترهای این مدار معادل با نرم افزار متلب با استفاده از تکنیک برازش بدست آمد. همچنین در مراجع [17-19] یک مدل پی-اس-پیس<sup>۶</sup> برای حسگرهای گاز مقاومتی بیان شد. با استفاده از این مدل یک مدولاسیون دمایی به گرمکن حسگر اعمال شد و پاسخ حسگر به گازهای احیایی ثبت شد. در این مدل مصالحه خوبی بین پاسخ تجربی و پاسخ شبیه‌سازی مشاهده شد. در مرجع [20] هدایت اکسید قلع لایه ضخیم با افزایش تراکم گاز مورد تحلیل قرار گرفت. پاسخ گذرای سه حسگر اکسید قلع لایه ضخیم در حضور بخارات تولوئن، اوکسیلن و اتانول ثبت شد. سپس رفتار این حسگرها با استفاده از یک مدل واکنش نفوذی<sup>۷</sup> مدل‌سازی شد. در آخر مرجع [21] یک مدل مدار معادل الکتریکی که شامل مقاومت، خازن، منبع ولتاژ و یک سویچ است را ارائه می‌دهد که فرایند جذب و واجدب که بر روی حسگرهای شیمیایی تحت فرضیه لانگمویر<sup>۸</sup> رخ می‌دهد را توصیف می‌کند. باز یا بسته بودن سویچ بستگی به حالت فرایند جذب و واجدب دارد.

در این مقاله با اعمال یک شکل موج پلکانی، شامل 5 پله با مدت دوام 10 ثانیه و ارتفاع 1 ولت برای هر پله، به گرمکن حسگر، پاسخ حسگر تجاری اف-آی-اس (مدل SP3-AQ2<sup>۹</sup>) در حضور بخارات اتانول ثبت شد. این حسگر دارای حساسیت و سرعت پاسخ بالایی به گازهای احیایی است. سپس مدلی برای این حسگر تجاری بر اساس معادله جذب فرونالیش و جذب اکسیژن ارائه و در سیمولینک متلب<sup>۱۰</sup> پیاده‌سازی شد. نهایتاً، با استفاده از این مدل پاسخ حسگر پیش‌بینی و با نتایج آزمایشگاهی مقایسه شد.

<sup>1</sup> Kinetic

<sup>2</sup> Oxidizing/Reducing

<sup>3</sup> Heater

<sup>4</sup> Temperature Modulation

<sup>5</sup> PSpice

<sup>6</sup> Diffusion–Raction Model

<sup>7</sup> Langmuir

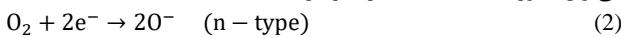
<sup>8</sup> FIS (SP3-AQ2)

<sup>9</sup> MATLAB Simulink

هدف اتانول، صورت گرفت. نتایج، براساس پروفایل شکل موج پلکانی استفاده شده، در شکل 3 نمایش داده شده‌اند. در این شکل، پاسخ گذرای حسگر تحت مدولاسیون دمایی به هوای تمیز نیز با نقطه‌چین نشان داده شده است.

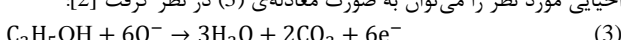
### 3- مدل‌سازی پاسخ حسگر

قبل از تشریح جزئیات مدل، توصیف مختصری در مورد رفتار معمول حسگر گاز اکسید فلزی در حضور گاز ارائه می‌شود. در هوا، اکسیژن بر روی سطح جذب شده به شکل  $O^{\cdot}$  تجزیه می‌شود [25]. این تعامل اکسیژن با سطح سبب کاهش الکترون از نیمه‌رسانا می‌شود. واکنش‌های اکسیدی در سطح را می‌توان بصورت معادله‌ی (2) در نظر گرفت:



این کسرشدنگی الکترون سبب افزایش مقاومت نیمه‌رسانا می‌شود. لازم به ذکر است که از واکنش‌های الکتروشیمیایی همانند معادله شیمیایی (2) در پیله‌های سوختی اکسید جامد با سوخت هیدروژن برای تولید انرژی الکتریکی نیز استفاده می‌شود [27].

سپس در حضور گاز احیایی<sup>5</sup>، همچون  $C_2H_5OH$ ، اتانول با اکسیژن جذب شده،  $O^{\cdot}$ ، واکنش داده تشکیل آب و دی‌اکسید کربن می‌دهد. این واکنش‌ها سبب می‌شوند الکترون دوباره به نیمه‌رسانا تزریق شود. واکنش احیایی مورد نظر را می‌توان به صورت معادله‌ی (3) در نظر گرفت [2]:



این بازیابی الکترون سبب کاهش مقاومت نیمه‌رسانا می‌شود. در این صورت هدایت الکتریکی حسگر تحت تأثیر گاز محیطی قرار خواهد گرفت [26]. نشان داده شده است که هدایت الکتریکی حسگرهای اکسید فلزی،  $G_s$ ، در حضور تراکم مشخص از گاز احیایی،  $C_{\text{gas}}$ ، با دقت خوبی از جذب هم‌دمای فرونديش<sup>6</sup> و جذب اکسیژن در سطح مطابق رابطه (4) پیروی می‌کند [17].

$$(4) G_s = K_q \times C_{\text{gas}}^r \times p(O_2)^{\frac{1}{m}}$$

که در آن،  $p(O_2)$  فشار اکسیژن محیطی و  $m$  ثابتی است که به نوع نقص غالباً<sup>7</sup> بین بدنی نیمه‌رسانا، در حالت تعادل اکسیژن با حسگر بستگی دارد.

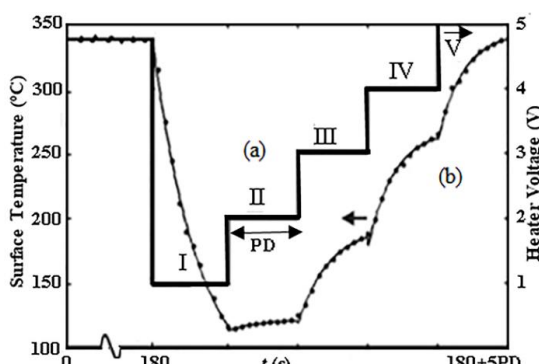


Fig. 2 (a) Heater staircase voltage, (b) Thermal variation of the sensor surface

شکل 2 (الف) ولتاژ پلکانی گرمکن، (ب) تغییر دمای سطح حساس حسگر

جدول 1 پارامترهای رابطه (1)

V- پله	IV- پله	III- پله	II- پله	I- پله	پارامترها
343	268	193	122	63	$T_{ss}$ (°C)
82.1	88.9	73.7	8.4	-282	$T_0$ (°C)
3.5	3.7	4.4	4.8	6.6	$\tau$ (s)

<sup>5</sup> Reducing Gas

<sup>6</sup> Freundlich Adsorption Isotherm

<sup>7</sup> Dominant Defect

اعمال شده پاسخ‌ها ثبت می‌شد. پس از ثبت پاسخ‌ها در مدت معین، مجدداً از طریق فرمان کارت کنترلی، حسگر از محفظه جدا شده دریچه‌ی ورودی بسته می‌شود. در این حالت محفظه برای تزریق تراکم بعدی آماده شده و عملیات ثبت پاسخ‌ها تکرار می‌شود.

به منظور ثبت پاسخ‌های تجربی از یک حسگر گاز مقاومتی تجاری در حضور تراکم‌های مختلف گاز اتانول استفاده شد. حسگر مورد استفاده جهت ثبت پاسخ و مدل‌سازی، یک آشکارساز گاز عمومی از خانوارده‌ی اف-آی-اس است [22]. حسگرهای اف-آی-اس جزء حسگرهایی هستند که نسبت به حسگرهای مشابه، دارای حساسیت بالاتر و قابلیت تکرار پاسخ مناسب‌تر هستند. لازم به ذکر است که در مورد حسگرهای شیمیایی، به دلیل باز بودن این حسگرهای تاثیرپذیر بودن آن‌ها از شرایط محیطی، اعلان دقت پاسخ و طول عمر به شرایط استفاده و نگهداری بستگی داشته و توسط کارخانه‌های سازنده ارائه نمی‌شود. این حسگر شامل لایه‌ی ضخیمی از اکسید قلع (نیمه‌رسانی نوع-n) با مساحت مفید تقریبی 2.3 میلی متر مربع بر روی یک زیرلایه‌ی<sup>1</sup> الومینیمی و ریزگرمکنی برای ایجاد دماهای کاری بالا است. از یک شکل موج پلکانی که ترکیبی از روش‌های «دوره‌ی دمایی» و «گذارهای دمایی» است برای تحریک گرمکن حسگر و برقراری شرایط مدولاسیون دمایی حسگر گاز استفاده شد [23]. شکل 2- ساختار شکل موج پلکانی نوعی مورد استفاده را نشان می‌دهد.

پارامتر PD در این شکل، دوام هر پله<sup>2</sup> است که در اینجا برای آن مقدار 10 ثانیه در نظر گرفته شد. در ابتدا حسگر به مدت 180 ثانیه در هوای آزاد در ولتاژ 5 ولت تحریک می‌شد. علت این کار پاک شدن سطح حسگر از آلودگی‌ها محتمل در اثر آزمایشات قبلی است. تعداد پله‌ها 5 پله از ولتاژ 1 تا 5 ولت در نظر گرفته شد (پله‌های V-I). پله‌ی I همواره تغییر از 5 ولت به 1 ولت است. دمای سطح حسگر با تغییر ولتاژ اعمالی به ریزگرمکن تغییر می‌کند. این دما از طریق یک ترموموکوپل نوع-S بسیار نازک (با قطر 0.04 میلی‌متر) در تماس فیزیکی با سطح حسگر تعیین شد. این ترموموکوپل از نوع S-است. جهت جبران دمای نقطه سرد استاندارد بوده دارای دقت  $1.5^{\circ}\text{C} \pm 0.04$  است. تغییرات دمای سطح حسگر در سطح حساس حسگر می‌شود. در شکل 1، نقاط توپر، نقاط حاصل از آزمایش و منحنی‌ها، نتایج حاصل از برآش این نقاط در هر پله‌ی دمایی با منحنی‌های نمایی به صورت رابطه‌ی (1) است:

$$(1) T = T_{ss} - T_0 \exp(-\frac{t}{\tau})$$

مقادیر این پارامترها برای برآش پنج پله‌ی ولتاژ از شکل موج گرمکن، به ترتیب در جدول 1 خلاصه شده‌اند.

ثبت پاسخ‌ها در 11 تراکم از 250 ppm وزنی اتانول در محفظه 8 لیتری صورت گرفت. پس از اتمام هر آزمایش هوای داخل محفظه به سمت سامانه‌ی تخلیه هدایت می‌شد. این آزمایش‌ها برای یک گاز

<sup>1</sup> Substrate

<sup>2</sup> Plateau Duration (PD)

<sup>3</sup> National Semiconductor

<sup>4</sup> Part Per Million (ppm)

شناسایی شوند [29,28]. شکل ۴، بلوک دیاگرام مدل حسگر ارائه شده را برای یک حسگر اکسید فلزی نشان می‌دهد. این مدل، پاسخ حسگر به یک گاز را شبیه‌سازی می‌کند [17].

سه ورودی مدل به شرح زیر است.

- غلظت گاز، ( $t$ ): این ورودی بیانگر تراکم گاز ورودی است. ولتاژ پله به عنوان تراکم گاز استفاده شده است. تراکم گاز معادل ولتاژ در نظر گرفته شده است.
- ولتاژ گرمکن ( $V_h(t)$ ): یک ولتاژ ۵ ولت ثابت به مدت ۱۸۰ ثانیه به همراه یک ولتاژ پلکانی با پنج پله با دامنه ۱ تا ۵ ولت با ارتفاع ۱ ولت و دوام ۱۰ ثانیه برای هر پله است.
- فشار اکسیژن ( $O_2$ ): بر طبق معادله (2) رفتار حسگر در هوای تمیز، در واقع نتیجه تعامل اکسیژن با سطح حساس حسگر است. در واقع، معادله (2) دارای ثابت و اکنشی است که قویاً به فشار اکسیژن وابسته است. بنابراین می‌توان از روی پاسخ گذراخی حسگر تحت مدولاسیون دمایی به هوای تمیز که در شکل ۳ با نقطه‌چین نشان داده شده است، به نحوی که در بخش بعد تشریح می‌شود، رفتار حسگر در مقابل فشار اکسیژن را حاصل نمود.

خرجی مدل به شرح زیر است:

- هدایت الکتریکی ( $G_s(t)$ ): خروجی حسگر در حضور گاز اتانول است. خصوصیات اصلی بلوک‌های داخلی مدل نشان داده شده در شکل ۴ به شرح زیر است.

✓ مدل تحويل نمونه<sup>۴</sup>: این مدل در واقع نحوه ایجاد تراکم گاز در سطح حسگر را نشان می‌دهد. بهوضوح در عالم واقع هیچگاه تراکم گاز بصورت ناگهانی (پالسی) در سطح حسگر ایجاد نشده و پایدار نمی‌شود. لذا این مدل شامل یک فیلتر درجه دو است تا خروجی این بلوک یکتابع نمایی از گاز شده و به شرایط واقعی نزدیک باشد.

✓ مدل گرمکن<sup>۵</sup>: به دلیل پیروی پارامترهای معادله (4) از دما، جهت عملکرد حسگر در دماهای مختلف نیاز به تعریف یک مدل برای گرمکن حسگر است. این مدل با استفاده از رابطه (1) مدل می‌شود.

✓ مدل جذب اکسیژن<sup>۶</sup>: بر طبق توضیحاتی که پیشتر ارائه شد، از پاسخ ثبت شدهی حسگر در هوای تمیز برای این منظور استفاده می‌شود.

✓ مدل پاسخ پویای: این بلوک مطابق رابطه (7) با سه ورودی تراکم گاز،

دمای خروجی از مدل گرمکن و جذب اکسیژن برای هدایت حسگر

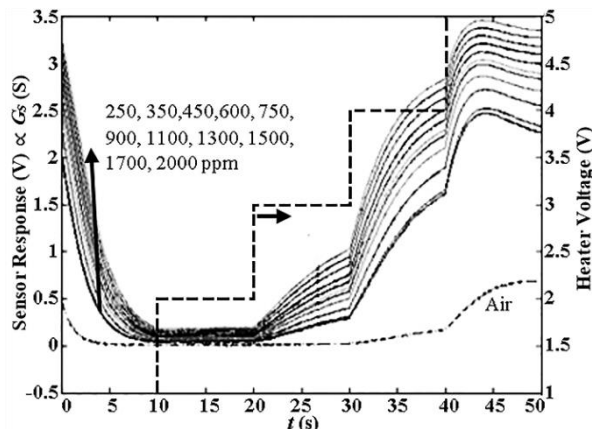
مدل می‌شود.

✓ مدل پاسخ پویای اصلاح شده: خروجی این بلوک حاصل ضرب خروجی مدل پاسخ پویا با خروجی مدل گرمکن است تا مطابق

رابطه (9) عملکرد حسگر را در دماهای مختلف مدل کند.

#### 4- شبیه‌سازی و نتایج

در این بخش مدل طراحی شده در محیط سیمولینک متلب ارائه شده است. همانطور که در بالا بیان شد تمامی بلوک‌ها با توجه به معادله‌های مربوط به خود در محیط متلب پیاده شد. هر معادله در یک بلوک تابع<sup>۷</sup> نوشته شد. مدل جذب اکسیژن با استفاده از پاسخ واقعی حسگر به هوای پاک، مدل شد. با توجه به اینکه پاسخ حسگر در واقع هدایت الکتریکی حسگر است و با



شکل ۳ پاسخ گذراخی ثبت شده حسگر تحت مدولاسیون دمایی به تراکم‌های مختلف اتانول

علامت  $1/m$  نیز به نوع هدایت نیمه‌رسانا بستگی دارد. برای نیمه‌رسانا نوع  $p$ - $n$  علامت  $1/m$  مثبت و برای نیمه‌رسانا نوع  $n$ - $p$  علامت آن منفی است. پارامترهای  $K_q$  و  $r$  در رابطه (4) از دما پیروی می‌کنند. بنابراین، پاسخ حسگر به شدت به عملکرد دمایی حسگر بستگی دارد. با درنظر گرفتن اثر دما می‌توان پارامترهای فوق را بصورت روابط (5) و (6) بازنویسی کرد.

$$K_q = K_T \times \exp\left(-\frac{E_A}{kT}\right) \quad (5)$$

$$r = n kT \quad (6)$$

که در آن  $K_T$  و  $E_A$  بترتیب ضریب پیش‌نمایی، انرژی فعال‌سازی<sup>۸</sup> و پیش ضریب قانون توان برای اکسید و  $k$  نیز ثابت بولتزمن است. با جایگذاری روابط (5) و (6) در رابطه (4)، رابطه (7) حاصل می‌شود.

$$G_s = K_T \times \exp\left(-\frac{E_A}{KT}\right) \times C^{n KT} \times p(O_2)^{\frac{1}{m}} \quad (7)$$

بر طبق معادله (5)، ضریب  $K_q$  از یک رابطه‌ی آرنیوسی پیروی می‌نماید. عموماً در این معادلات، ضریب پیش‌نمایی  $K_T$  نیز خود تابعی توانی از دما محاسبه می‌شود. در اینجا به منظور سادگی، رابطه‌ی  $K_T$  بصورت معادله (8) در نظر گرفته می‌شود:

$$K_T = K_{T0} \times T^\gamma \quad (8)$$

که در آن  $\gamma$  عددی ثابت در نظر گرفته می‌شود. با احتساب رابطه (8)، می‌توان پاسخ پویای حسگر را بصورت دقیق‌تر بصورت معادله (9) بازنویسی نمود:

$$G_s = K_{T0} \times T^\gamma \times \exp\left(-\frac{E_A}{KT}\right) \times C^{n KT} \times p(O_2)^{\frac{1}{m}} \quad (9)$$

در بسیاری از مراجع فرض می‌کنند که در رابطه‌ی آرنیوسی (5)، عبارت نمایی تعیین کننده تغییرات دمایی کل است و لذا از تغییرات دمایی ضریب پیش‌نمایی، رابطه‌ی (8)، صرف‌نظر می‌شود. در هنگام مدل‌سازی، بمنظور تمايز بین معادلات (7) و (9)، مدل خروجی حاصل از معادله (7) پاسخ پویای حسگر<sup>۹</sup> و مدل خروجی حاصل از معادله (9) پاسخ پویای اصلاح شدهی حسگر<sup>۱۰</sup> نامیده می‌شود. همان‌گونه که مشاهده می‌شود، پاسخ پویای اصلاح شدهی حسگر<sup>۱۱</sup> همان‌گونه که مشاهده می‌شود، پاسخ پویای اصلاح شدهی حسگر<sup>۱۲</sup> نامیده می‌شود. همان‌گونه که مشاهده می‌شود، پاسخ پویای اصلاح شدهی حسگر<sup>۱۳</sup> متأثر از عملکرد دمایی آن است. اعمال دما بصورت دوره‌ای یا تناوبی در یک حسگر این امکان را فراهم می‌سازد تا طیف وسیعی از گازهای واکنش‌دهنده در الگوهای دمایی مختلف،

<sup>1</sup> Activation Energy

<sup>2</sup> Sensor's Dynamic Response

<sup>3</sup> Corrected Sensor's Dynamic Response

<sup>4</sup> Sample Delivery Model

<sup>5</sup> Heater Model

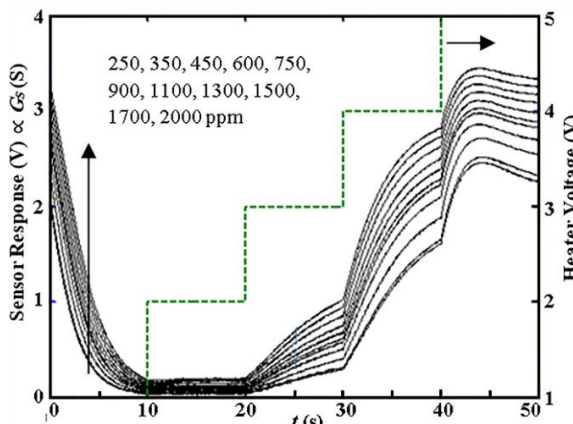
<sup>6</sup> Oxygen Adsorption Model

<sup>7</sup> Mat-Function

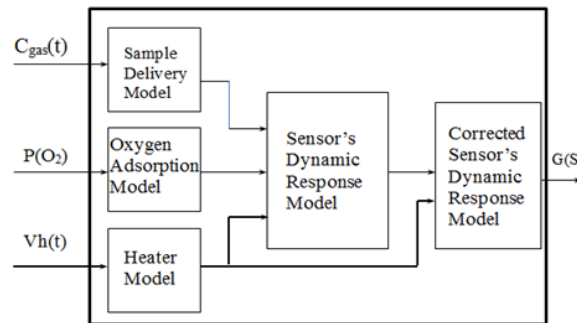
مربعات خطأ، SSE، بین خروجی‌های واقعی و شبیه‌سازی شده در هر تراکم به عنوان تابع هزینه<sup>۳</sup> در نظر گرفته شد. بدین طریق پارامترهای این بلوک در هر تراکم محاسبه شد که مقادیر آن در جدول ۲ آورده شده است. پاسخ‌های شبیه‌سازی توسط بلوک مدل ارائه شده، در شکل ۶ قابل مشاهده است. همانگونه که ملاحظه می‌شود خروجی‌های حاصل از شبیه‌سازی تطابق مناسبی با نتایج آزمایش دارد. مقادیر نهایی SSE در هر تراکم نیز در ستون آخر جدول ۲ آورده شده است. از روی مقادیر SSE ملاحظه می‌شود که پاسخ‌های محاسبه شده از روی مدل نزدیکی مناسبی با خروجی‌های ثبت شده دارند. همانگونه که از این ستون مشاهده می‌شود، مقادیر SSE بین ۱۰ تا ۵۰ حاصل شد که مقادیر اندکی محسوب می‌شوند. تغییرات SSE بر حسب تراکم‌های مورد آزمایش در شکل ۷ با دوابیر توخالی و خطوط پیوسته نمایش داده شدند. مقدار میانگین پارامترهای محاسبه شده نیز در جدول ۲ در سطر آخر همین جدول محاسبه شده است. در این جدول برای  $m$  مقادیر منفی از -۱.۴ تا -۳ حاصل شده است که با توجه به نوع  $n$ -بودن حسگر مورد استفاده اولاً علامت آن صحیح است ثانیاً مقدار آن با آنچه در مقالات دیگر آمده مطابقت دارد [۳۱]. مقدار انرژی فعال‌سازی،  $E_A$  و مقدار  $n$  نیز در مرجع [۱۸]، گزارش شده است که با مقادیر گزارش شده در جدول ۲ مطابقت دارد.

جدول ۲ پارامترهای معادله (۹)

SSE	g	$m$	$n$ (mol kJ)	$E_A$ (kJ mol)	$K_{T0}$	پارامتر تراکم ( $\times 10^{-6}$ )
25	5.69	-1.4	0.65	70	300	250
12.3	5.58	-1.4	0.66	70	300	350
16.62	5.54	-1.54	0.67	70	300	450
22.55	5.53	-1.67	0.69	70	300	600
25.49	5.44	-1.86	0.7	70	301	750
27.23	5.31	-2	0.7	69.51	315	900
30.28	5.16	-2.15	0.7	68.20	320	1100
33.62	5.04	-2.32	0.7	67.32	320	1300
39.78	4.94	-2.5	0.7	66.08	312	1500
43.78	4.84	-2.65	0.7	65	313	1700
46.53	4.74	-3	0.7	65	320	2000
29.38	5.26	-2.04	0.69	68.28	309	میانگین



شکل ۶ پاسخ گذرای شبیه‌سازی شده حسگر تحت مدولاسیون دمایی به تراکم‌های مختلف اتانول حاصل از خروجی شکل ۵

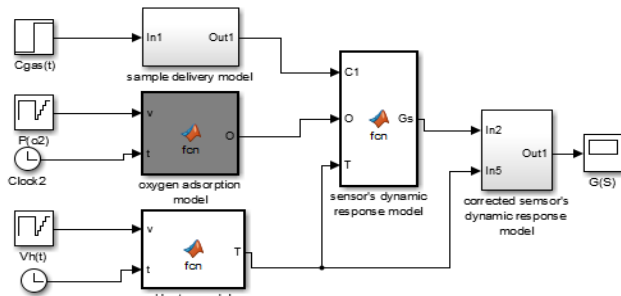


شکل ۴ دیاگرام بلوکی مدل حسگر گاز اکسید قلع

شکل ۴ دیاگرام بلوکی مدل حسگر گاز اکسید قلع

جذب اکسیژن، هدایت حسگر کاهش می‌یابد. لذا هدایت الکتریکی حسگر با جذب اکسیژن نسبت معکوس دارد. لذا در اینجا معکوس پاسخ حسگر به هوای پاک به عنوان جذب اکسیژن در نظر گرفته شد. باید توجه داشت که رابطه هدایت حسگر با فشار اکسیژن یک رابطه معکوس ساده در نظر [۳۰] اما این رابطه در اینجا بمنظور راحتی، یک رابطه معکوس ساده در نظر گرفته می‌شود. ابتدا پاسخ حسگر به هوای پاک با استفاده از یک معادله نمایی در جمله‌ای در تمام پله‌ها برآش شد. سپس حاصل برآش در یک بلوک تابع به عنوان جذب اکسیژن در سطح حسگر در نظر گرفته شد. مدل گرمکن با استفاده از رابطه (۱) مدل شد. این رابطه نیز در یک بلوک تابع نوشته شد. ورودی این بلوک یک ولتاژ پلکانی است تا دمای سطح حسگر را همچون شکل ۲ تولید نماید. ورودی مدل پاسخ پویا بیانگر مقدار تراکم گاز است (۱) و لوت معادل (۱). مدل پاسخ پویا/ نیز با استفاده معادله (۷) با سه ورودی در یک بلوک تابع نوشته شد. بمنظور طراحی بلوک مدل پاسخ پویای اصلاح شده، از مدل ارائه شده در بخش ۳ و نتیجه نهایی آن، یعنی معادله (۹) استفاده شد. این بلوک، مطابق رابطه (۹) حاصل ضرب خروجی بلوک پاسخ پویا با خروجی بلوک گرمکن است. شکل ۵ مدل پیاده شده در متلب را نشان می‌دهد.

پس از قرار دادن پارامترهای بلوک‌های شکل ۵، خروجی حسگر در هر تراکم قابل شبیه‌سازی و ترسیم است. با تعریف شکل موج پلکانی با دوام ۱۰ ثانیه برای مدل گرمکن حسگر و همچنین تعریف تراکم‌های مختلف گاز برای ۲۵۰ ppm تا ۲۰۰۰ ppm (متلا ۲۰۰۰ ppm تا ۲۵۰ ppm) ورودی سیستم تحويل نمونه از ۰ ppm تا ۲۵۰ ppm (ولت) پاسخ مدل شبیه‌سازی شد. پارامترهای معادله (۹) در این بلوک‌ها به کمک جعبه ابزار بهینه‌سازی<sup>۱</sup> و با معیار نزدیکی پاسخ‌های مدل و پاسخ‌های واقعی صورت گرفت. به منظور کمی‌سازی این نزدیکی، مجموع



شکل ۵ مدل حسگر گاز اکسید قلع در سیمولینک متلب

<sup>1</sup> Optimization Toolbox

<sup>2</sup> Sum Square Error  
<sup>3</sup> Cost Function

### 5- نتیجه گیری

در این تحقیق ابتدا پاسخ حسگر به بخارات اتانول ثبت شد. سپس یک مدل از هدایت حسگرهای اکسید فلزی بر مبنای مدل هم دمایی فروندلیش و جذب اکسیژن ارائه و در متلب پیاده‌سازی شد. این مدل دارای یک ورودی برای گاز و یک ورودی برای ولتاژ گرم کن و یک ورودی برای جذب اکسیژن بود. در اینجا تراکم گاز هدف معادل با ولتاژ در نظر گرفته شد. همانند سامانه واقعی شکل موج پلکانی برای مدل ارائه شده تعریف شد. برای جذب اکسیژن در سطح حسگر، از پاسخ ثبت شده‌ی حسگر در هوای تمیز برای این منظور استفاده شد. پاسخ مدل رفتار حسگر را همانند پاسخ واقعی حسگر شبیه‌سازی می‌کند. آزمایش‌های صحه‌سنجه، صحت مدل ارائه شده را نشان می‌دهند.

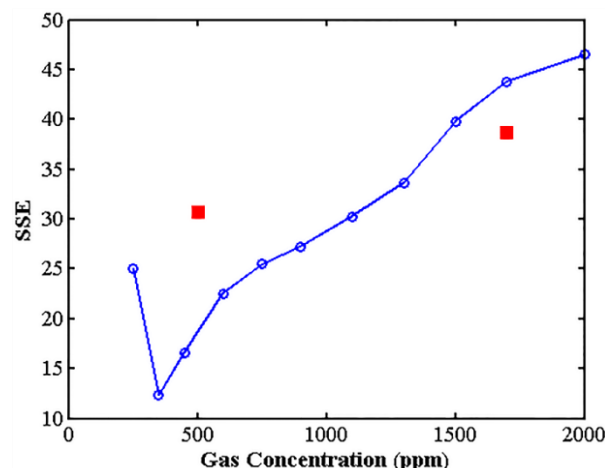
### 6- فهرست عالیم

تراکم گاز	$C$
انرژی فعال سازی (kJ/mol)	$E_A$
هدایت حسگر (S)	$G_s$
ثابت بولتزمن (kJ/K)	$k$
ضریب حساسیت	$K_q$
ضریب پیش نمایی هدایت الکتریکی وابسته به دما	$K_T$
ضریب پیش نمایی هدایت الکتریکی مستقل از دما پارامتر وابسته به نقص بلوری بدنه حسگر	$K_{T0}$
پیش ضرب قانون توان برای اکسید <sup>-1</sup> (kJ/mol)	$n$
فشار اکسیژن	$p(O_2)$
قانون توان برای اکسید	$r$
(دما)	$T$
ضریب پیش نمایی دمای حسگر	$T_0$
دمای ثابت سطح حسگر	$T_{SS}$
رابطه‌ی توانی دما برای ضرب پیش نمایی هدایت الکتریکی	$\gamma$
ثابت زمانی (s)	$\tau$

### 7- مراجع

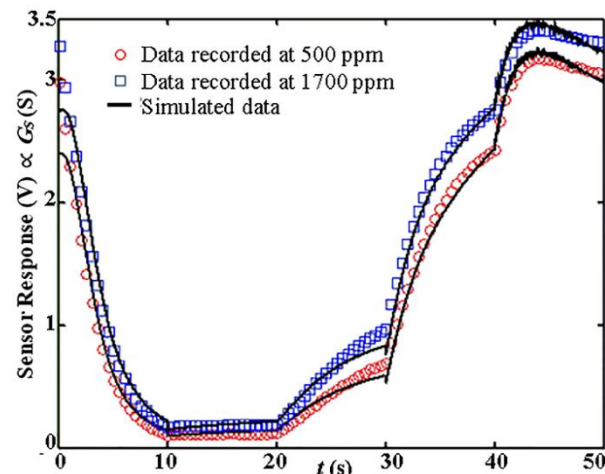
- [1] F. Hosseini-Babaei, M. Keshmire, M. Kakavand, T. Troczynski, A resistive gas sensor based on undoped p-type anatase, *Sensors and Actuators B*, Vol. 110, No. 1, pp. 28-35, 2005.
- [2] S. M. Hosseini-golgoo, F. Hossein. Babaei, R. Afzalzadeh, Detection of flammable gases by a tin oxide sensor made by evaporation of the electronic beam, *Sharif Scientific Journal*, Vol. 21, pp. 29-38, 2007 (in persian) (فارسی)
- [3] F. Hosseini-Babaei, M. Akbari-Saatl, Growth of ZnO nanorods on the surface and edges of a multilayer graphene sheet, *Scripta Materialia*, Vol. 139, No. 1, pp. 77-82, 2017.
- [4] F. Hosseini-Babaei, N. Alaei. Sheini, M. Jahangiri, The ohmic contact between zinc oxide and highly oriented pyrolytic graphite, *Materials Letters*, Vol. 192, No.1, pp. 52-55, 2017.
- [5] F. Hosseini-Babaei, N. Alaei. Sheini, Electronic conduction in Ti/Poly-TiO<sub>2</sub>/Ti structures, *Scientific Reports*, Vol. 6, No. 29624, pp. 1-11, 2016.
- [6] H. Amirabadi, M. Shakeri, E. Hourichi, measurement of rough surface by capacitive sensor, *Modares Mechanical Engineering*, Vol. 8, No. 1, pp. 87-97, 2008 (in persian) (فارسی).
- [7] X. Yin, L. Zhang, F. Tian, D. Zhang, Temperature modulated gas sensing E-nose system for low-cost and fast detection, *IEEE Sensors Journal*, Vol. 16, No. 2, pp. 464-474, 2015.
- [8] M. Yoo, H. Ki Kim, S. Lim, Electromagnetic-based ethanol chemical sensor using metamaterial absorber, *Sensors and Actuators B*, Vol. 222, No. 1, pp. 173-180, 2016.
- [9] S. M. Hosseini-Golgoo, H. Bozorgi, A. Saberkari, Comparing success levels of different neural network structures in extracting discriminative information from the response patterns of a temperature modulation resistive gas sensors, *Measurement Science and Technology*, Vol. 26, No. 6, pp. 1-10, 2015.
- [10] Q. Deng, sh. Gao, T. Lei, Y. Ling, Sh. Zhang, Ch. Xie, Temperature and light modulation to enhance the selectivity of Pt-modified zinc oxide gas

برای صحه‌سنجه، آزمایش‌های فوق برای دو تراکم مختلف 500ppm و 1700ppm در شرایط دیگری برای بخارات اتانول ثبت شد. در انتخاب تراکم‌های اتانول جهت صحه‌سنجه، یک تراکم مشابه یکی از یازده تراکم استفاده شده در فرایند آموزش، یعنی 1700ppm، و دیگری در همان محدوده‌ی آموزشی ولی با مقداری متفاوت، یعنی 500ppm انتخاب شد. پاسخ‌های ثبت شده در این دو تراکم در شکل 8 با نشانگرهای توخالی نمایش داده شده است. همانطور که دیده می‌شود پاسخ کاملاً مشابه با پاسخ‌های ثبت شده در پخش 2 است. سپس با استفاده از مدل ارائه شده پاسخ‌های صحه سنجه شبیه‌سازی شد. نتایج شبیه‌سازی در همان شکل 8 و با منحنی‌های پیوسته نمایش داده است. با توجه به نتایج شبیه‌سازی دیده می‌شود که رفتار مدل در کلیه پله‌ها مشابه رفتار واقعی حسگر است. مقادیر SSE بین خروجی حاصل از مدل و خروجی‌های واقعی برای این دو تراکم ارزیابی نیز در شکل 7 و با مربع‌های توپر نشان داده شده‌اند.



شکل 7 دوایر توخالی: مقادیر مجموع مربعات خطای بین پاسخ‌های واقعی و شبیه‌سازی شده حسگر در یازده تراکم آموزشی؛ مربع‌های توپر نشان داده شده در شرایط دیگری برای دو تراکم ارزیابی نیز در

صحه‌سنجه



شکل 8 پاسخ‌های ثبت شده (نشانگرهای توخالی) و شبیه‌سازی شده (منحنی‌های Simulated data) حسگر جهت صحه‌سنجه

- 1138, 1997.
- [21] A. D'Amico, C. Di Natale, C. Falconi, G. Pennazza, M. Santonico, I. Lundstrom, Equivalent electric circuits for chemical sensors in the langmuir regime, *Sensors and Actuators B*, Vol. 238, No.1, pp. 214-220, 2017.
- [22] FIS gas sensor SP3-AQ2-01 for air quality controls (VOCs), Accessed on 7 October 2017; [http://www.fisinc.co.jp/en/common/pdf/SP3SAQ201E\\_P.pdf](http://www.fisinc.co.jp/en/common/pdf/SP3SAQ201E_P.pdf).
- [23] F. Hosseini-Babaei, S. M. Hosseini-Golgoo, Analyzing the responses of a thermally modulated gas sensor using a linear system identification technique for gas diagnosis, *IEEE Sensors Journal*, Vol. 8, No. 11, pp. 1837-1847, 2008.
- [24] LM35 precision centigrade temperature sensors (Rev. H), Accessed on 25 November 2017; <http://www.ti.com/product/LM35/datasheet/abstract#SNIS1592470>.
- [25] M. Batzill, Surface science studies of gas sensing materials: SnO<sub>2</sub>, *Sensors*, Vol. 6, No. 10, pp. 1345-1366, 2006.
- [26] P. K. Clifford, D. T. Tuma, Characteristics of semiconductor gas sensors I. Steady-state gas response, *Sensors and Actuators*, Vol. 3, No. 1, pp. 233-254, 1982-83.
- [27] .Fadai, M. Ghassemi, R. Mohammadi, Fuel concentration impedance simulation of a planar solid oxide fuel cell, *Modares Mechanical Engineering*, Vol. 13, No. 15, pp. 38-49, 2013. (in persian **فارسی**)
- [28] J. Samitier, J. M. Lopez-Villegas, S. Marco, L. Camara, A. Pardo, O. Ruiz, J. R. Morante, A new method to analyse signal transients in chemical sensors, *Sensors and Actuators B*, Vol. 8, No. 1-3, pp. 308-312, 1994.
- [29] S. Wlodek, K. Colbow, F. Consadori, Signal-shape analysis of a thermally cycled tin oxide gas sensor, *Sensors and Actuators B*, Vol. 3, No. 1, pp. 63-68, 1991.
- [30] S. R. Morrison, *Chemical sensors*, S. M. Sze (Ed.), *Semiconductor sensors*, pp. 392, New York: John Wiley & Sons, 1994.
- [31] J. F. Mc aleer, P. T. Moseley, J. O. W. Norris, D. E. Williams, Tin dioxide gas sensors Part 1.-Aspects of the surface chemistry revealed by electrical conductance variations, *Journal of the Chemical Society*, Vol. 83, No. 4, pp. 1323-1346, 1987.
- sensors, *Sensors and Actuators B*, Vol. 247, No. 1, pp. 903-915, 2017.
- [11] S. M. Hosseini-Golgoo, F. Hossein-Babaei, Assessing the diagnostic information in the response patterns of a temperature-modulated tin oxide gas sensor, *Measurement Science and Technology*, Vol. 22, No. 3, pp. 1-11, 2011.
- [12] F. Hossein-Babaei, A. Amini, A breakthrough in gas diagnosis with a temperature- modulated generic metal oxide gas sensor, *Sensors and Actuators B*, Vol. 166-167, No. 1, pp. 419-425, 2012.
- [13] A.Ortega, S. Marco, A. Perera, T. Sundic, A.Pardo , J. Samitier, An intelligent detector based on temperature modulation of a gas sensor with a digital signal processor, *Sensors and Actuators B*, Vol. 78, No. 1-3, pp. 32-39, 2001.
- [14] S. Al-Khalifa, S. Maldonado-Bascon, J. W. Gardner, Identification of CO and NO<sub>2</sub> using a thermally resistive microsensor and support vector machine, *IEE Proceedings-Science, Measurement and Technology*, Vol. 150, No. 1, pp. 11-14, 2003.
- [15] A. Fort, M. Muganaini, S. Rocchi, V. Vignoli, E. Comini, G. Faglia, A. Ponzoni, Metal-oxide nanowire sensors for CO detection: characterization and modeling, *Sensors and Actuators B*, Vol. 148, No. 1, pp. 283-291, 2010.
- [16] Y. Gonullu, K. Kelm, S. Mathur, B. Saruhan, Equivalent circuit models for determination of the relation between the sensing behavior and properties of undoped/Cr doped TiO<sub>2</sub> NTs, *Chemosensors*, Vol. 2, No. 1, pp. 69-84, 2014.
- [17] E. Llobet, X. Vilanova, J. Brezmes, D. Lopez, X. Correig, Electrical equivalent models of semiconductor gas sensors using PSpice, *Sensors and Actuators B*, Vol. 77, No. 1-2, pp. 275-280, 2001 .
- [18] E. Llobet, J. Rubio, X. Vilanova, J. Brezmes, X. Correig, J. W. Gardner, E. L. Hines, Electronic nose simulation tool centred on PSpice, *Sensors and Actuators B*, Vol. 76, No. 1-3, pp. 419-429, 2001.
- [19] J. W. Gardner, E. L. Hines, PSPICE model for resistive gas odour sensors, *IEE Proceeding, Circuit Devices System*, Vol. 146, No. 3, pp. 101-104, 1999.
- [20] E. Llobet, X. Vilanova, J. Brezmes, R Alcubilla, J. Calderer, J. E. Sueiras, X. Correig, Conductance-transient analysis of thick-film tin oxide gas sensors under successive gas-injection steps, *IOP Science*, Vol. 8, No. 10, pp. 1133-